

大気圧プラズマによる N₂O 分解・生成特性

奥田 智紀* 神原 信志 (岐阜大学) 佐々木 統一郎(メタウォーター)

N₂O Formation and Decomposition in An Atmospheric Plasma

Tomonori OKUDA, Gifu University, Graduate School, 1-1 Yanagido, Gifu, Japan

Shinji KAMBARA, Gifu University

Toichiro SASAKI, METAWATER Co., Ltd.

Fundamental characteristics of N₂O decomposition and formation by atmospheric non-equilibrium plasma were investigated under an atmospheric temperature without catalysts. A pulsed dielectric barrier discharge (DBD) with a one-cycle sinusoidal-wave power source was employed to reduce N₂O emission from an aeration tank of a sewage treatment facility. In N₂O-Ar system and N₂O-N₂ system, an N₂O concentration of 40 ppm was completely decomposed by DBD. However, in N₂O-O₂-Ar system, N₂O decomposition was inhibited by O radical generated from molecular oxygen. In N₂O-O₂-N₂ system, N₂O was produced by reaction of N₂ + O. Control of O radical generation was key technology in N₂O decomposition in N₂O-O₂-N₂ system. Critical O₂ concentrations were investigated to remove N₂O under N₂O-O₂-N₂ system.

キーワード：誘電体バリア放電，亜酸化窒素，非平衡プラズマ，分解

(Keywords: Dielectric barrier discharge Nitrous oxide, Non-equilibrium plasma, Decomposition,

1. 緒言

温室効果ガスには、二酸化炭素のほかにメタン、亜酸化窒素(N₂O)、クロロフルオロカーボン類(CFCs)がある。CFCsの大気中濃度は減少しつつあるが、CH₄、N₂Oの大気中濃度は増加しつづけている¹⁾。特にN₂Oは温室効果(温暖化係数約310)に加え、CFCsのようにオゾン層破壊を引き起こす物質であると言われ、その排出濃度低減または分解処理法の開発が進められている。

N₂Oは石炭や廃棄物、下水汚泥の流動層燃焼や下水処理プロセスばっ気槽排出ガス、医療用麻酔の余剰ガス等が排出源である。N₂Oの除去技術としては、1000°C以上の雰囲気で再燃焼する技術²⁾や300°C付近でゼオライト系触媒により分解する技術³⁾などがあり、主に下水汚泥の燃焼プロセスに適用されている。しかし、ばっ気槽排出ガスや麻酔余剰ガスのように、排ガスが大気温度付近の場合、適当な分解処理法はない。

本研究は、大気温度付近の排ガスに含まれるN₂Oの分解処理法を開発することを目的としている。大気圧非平衡プラズマ(Dielectric Barrier Discharge: DBD)は、大きな電子エネルギーを容易に得ることができるため、大気温度付近のN₂O分解処理に適用できる可能性がある。前報⁴⁾では、プラズマ条件

(印加電圧)、ガス組成(N₂O/O₂/N₂/Ar)、ガス流量(ガス滞留時間)を変化させて、N₂Oの分解特性を調べた。N₂O-O₂-Ar系では、O₂=0%、投入電力50Wの時、N₂OはDBDにより100%分解された。しかし、O₂濃度が増加するとN₂O分解率は減少し、特に、N₂O-O₂-N₂系ではN₂Oの再生産が見られた。

本報では、O₂存在下でもN₂Oを分解する方法を見いだすために、N₂O-O₂-Ar系またはN₂O-O₂-N₂でのN₂O分解・生成特性を詳細に調べた。さらに大気圧プラズマの発生法を工夫し、N₂O再生産の抑制を試みた。

2. 装置および実験方法

Fig.1に実験装置の概要を示す。実験装置は、モデルガス(N₂O/O₂/N₂)供給部、DBD反応器、高電圧パルス電源、NOx/N₂O/O₂測定装置よりなっている。

DBD反応器は、直径48mm、厚さ2.0mm、長さ600mmの石英製円筒管(Fig.2)と直径6mmのガス流路を内蔵した高電圧電極(Fig.3)で構成されている。高電圧電極と石英管はOリングによってギヤップ(2.0mm)がつくられている。石英管外周には、接地電極(SUS製、厚さ0.2mm、長さ500

mm, パンチングメタル) を巻き付けた。プラズマは、ギャップ部に接地電極の長さで発生する。

モデルガスは、総流量 5.0 L/min, N₂O 濃度 40 ppm 一定とし、O₂濃度を変化させた。また、希釈ガスは Ar または N₂とした。モデルガスは、石英管 2 方向ガス供給口 (Fig.1 ⑪部) に供給した。DBD は高周波電源(ハイデン研究所製 PHF-2K)を用いて発生させた。大気圧プラズマで処理されたガスは、Fig.1 ⑫部から排出される。

ガス組成の変化は、N₂O 分析計 (HORIBA, VIA510) および NO_x (NO+NO₂) /O₂ 分析計 (SHIMAZU NOA-7000) で連続測定した。

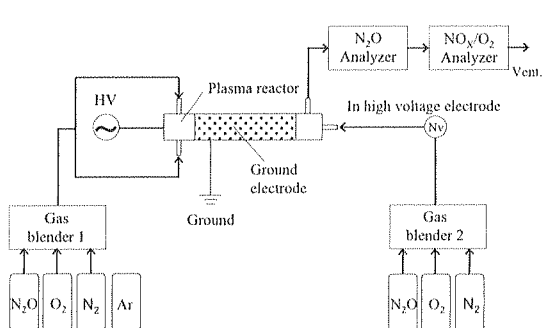


図 1 DBD 亜酸化窒素分解実験装置

Fig.1 Schematic diagrams of experimental apparatus

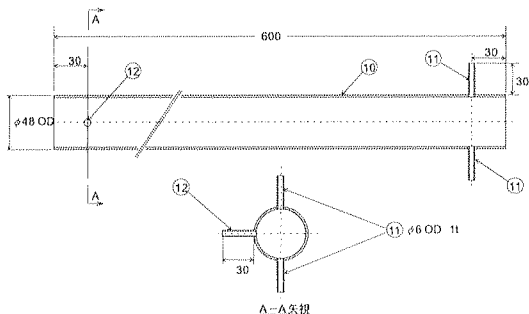


図 2 DBD 反応器 (石英管) の構造

Fig.2 Configuration of a quartz tube for a DBD reactor.

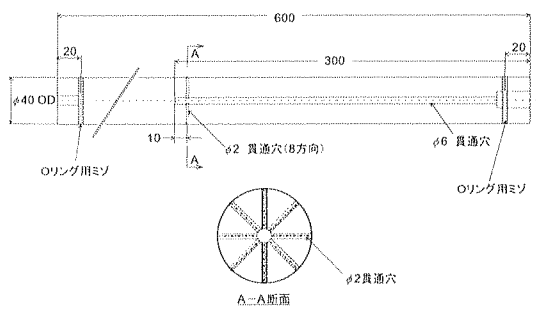


図 3 高电压電極の構造

Fig.3 Configuration of a high voltage electrode.

N₂O 分解率(%)は次式で定義した。

$$(\text{[N}_2\text{O}]_0 - \text{[N}_2\text{O}]_1) / \text{[N}_2\text{O}]_0 \times 100 \quad (1)$$

ここで、[N₂O]₀ はモデルガス中の N₂O 濃度 ppmv, dry, [N₂O]₁ は DBD 反応器出口ガス中の N₂O 濃度 ppmv, dry である。

Fig.4 に、高周波電源 (OCS) の波形を示す。印加電圧 V_{pp} は正負のピーク - ピーク間電圧で定義した。 T_0 は波形保持時間、 T_1 はパルス間隔である。繰返し数 (周波数) R_R は、 T_1 の逆数として定義した。本電源は T_0 が極めて短い時間であることを特徴としており、Fig.4 の条件では $T_0 = 10 \mu\text{s}$ である。 V_{pp} の測定には、高電圧プローブ (Tektronix, P6015A) とデジタルオシロスコープ (Tektronix, TDS3034B) を用いた。

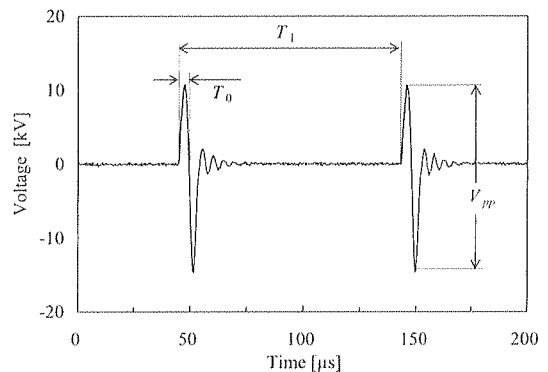


図 4 OCS から供給される電圧の波形

Fig.4 Waveform of voltage supplied from a one-cycle sinusoidal power source (OCS). ($N_2=5 \text{ L/min}$, 25 kV, 10 kHz, $T_0=10 \mu\text{s}$)

3. 実験結果

3.1) N₂O-O₂-Ar 系

N₂O-O₂-Ar 系の実験では、DBD による N₂O 分解の基礎的な特性を明らかにできる。Fig.5 に印加電圧に対する N₂O 分解率の変化を O₂濃度をパラメータとして示す。O₂=0%の時、印加電圧 $V_{pp}=6 \text{ kV}$ で N₂O は完全に分解した。

N₂O (N=N=O) のうち、N=O の解離エネルギーは 6.50 eV, N=N の解離エネルギーは 9.76 eV である。本電源で $V_{pp}=6.0 \text{ kV}$ の時、プラズマ内の電子平均エネルギーは 7.0 eV と計算される⁴。すなわち、O₂ = 0%の時、 $V_{pp}=6.0 \text{ kV}$ では N=N=O の結合のうち、N=O 結合の電子衝突解離反応(5)式が起こったものと考えられる。



一方、O₂存在下では、O₂濃度が高くなるほど N₂O 分解率は低下し、また印加電圧の増加とともに N₂O 分解率は増加した。O₂存在下では、(6)式に示す O₂の解離反応に電子エネルギーが優先的に消費されるため (O₂の解離エネルギーは 5.12 eV), O₂濃度が高くなるほど N₂O 分解率が低下するものと思われる。



尚、 NO_x ($\text{NO}+\text{NO}_2$) はこの系では検知されなかった。これは(5)式の N_2O 分解で生成する N_2 濃度が希薄なため、 N_2 の解離反応が起こらず、以下の NO , NO_2 生成反応が起こらなかったものと考えられる。

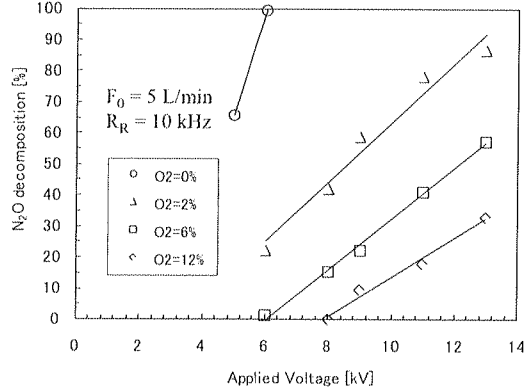


図5 $\text{N}_2\text{O}-\text{O}_2-\text{Ar}$ 系での N_2O 分解率に及ぼす酸素濃度の影響
Fig.5 Effect of O_2 concentration on N_2O decomposition by DBD direct treatment in $\text{N}_2\text{O}-\text{O}_2-\text{Ar}$ system.

〈3.2〉 $\text{N}_2\text{O}-\text{O}_2-\text{N}_2$ 系

Fig.6に、 $\text{N}_2\text{O}-\text{O}_2-\text{N}_2$ 系における N_2O 分解・生成挙動を示す。この系では、プラズマ点灯電圧は Ar ベースに比較して高くなり、14 kV であった。したがって、高い印加電圧、すなわち高い電子エネルギー中の反応となる。

$\text{O}_2=0\%$ の場合は、 $V_{pp}=18$ kV で約 100% の分解率が得られたが、 O_2 存在下では O_2 濃度が高くなるほど逆に N_2O が生成する結果となった。 $\text{N}_2\text{O}-\text{O}_2-\text{Ar}$ 系 (Fig.5) では、酸素濃度が高くても N_2O は分解したが、高濃度の N_2 の存在により、 N_2O が生成されることがわかった。すなわち、(6), (7)式で生成する N, O ラジカルの共存によって N_2O が生成されると考えられる。 N_2O 生成を抑制するには、N, O ラジカルの発生を抑制する必要があり、そのためには低い印加電圧で $\text{N}_2\text{O}-\text{O}_2-\text{N}_2$ を処理することが求められる。

〈3.3〉 Ar プラズマ中への O_2-N_2 吹込み

低電圧で $\text{N}_2\text{O}-\text{O}_2-\text{N}_2$ ガスを処理するために、Ar プラズマ中へのガス吹込みを試みた。Ar のプラズマ点灯電圧は 5 kV 程度であり、N, O ラジカルの発生を抑制できると考えた。

Ar プラズマ中へのガス吹込みは、反応管 (Fig.2) のガス供給口からアルゴンを 2.0 SLM で供給し、Fig.3 の電極中央部にモデルガス 3.0 SLM を供給した。アルゴンプラズマはモデルガス供給部までの間で生成し、その電子エネルギーがモデルガスに与えられる。

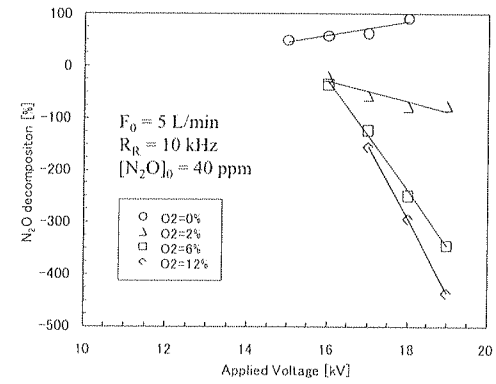


図6 $\text{N}_2\text{O}-\text{O}_2-\text{N}_2$ 系での N_2O 分解に及ぼす酸素濃度の影響
Fig.6 Effect of O_2 concentration on N_2O decomposition by DBD direct treatment in $\text{N}_2\text{O}-\text{O}_2-\text{N}_2$ system

N, O ラジカルの生成抑制、すなわち N_2O の生成抑制を確認するため、Ar プラズマ中に O_2-N_2 を吹込み、 N_2O 濃度の変化を調べた。Fig.7 は、印加電圧に対する N_2O 濃度の変化を O_2 濃度をパラメータとして示す。Ar プラズマ中への O_2-N_2 吹込みでは、11 kV 付近から N_2O が生成はじめると、 O_2 濃度の影響がほとんどないこと、直接プラズマで処理した場合 (直接処理法) と比較すると、 N_2O 濃度が極めて低いことから、N, O ラジカルの生成抑制が可能であることがわかった。

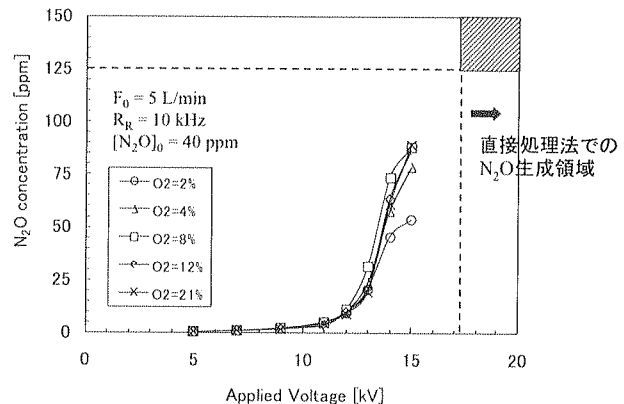


図7 Ar プラズマへの O_2/N_2 吹込みによる N_2O 生成特性
Fig.7 N_2O formation by O_2/N_2 injection into argon plasma.

〈3.4〉 Ar プラズマ中への $\text{N}_2\text{O}-\text{O}_2-\text{N}_2$ 吹込み

Fig.7より、 $V_{pp}=11$ kV 以下であれば N_2O を再生成させることなく N_2O を分解できることが期待できる。そこで Ar プラズマ中に $\text{N}_2\text{O}-\text{O}_2-\text{N}_2$ を吹込み、酸素濃度を変えて N_2O 分解率を調べた (Fig.8)。

Fig.6 と比較すると、明らかに N_2O の生成は抑制されているものの、 $\text{O}_2=0\%$ 以外の条件では、 N_2O は分解されなかった。本実験では、曝気槽出口 N_2O 濃度を模擬して低濃度の N_2O (40 ppm) を用いた。Fig.8 をみると、 $\text{O}_2=2-21\%$ であってもみかけの N_2O 濃度は変化せず、分解率は 0% で

ある。これは、Ar プラズマ内での N₂O 分解量が 40 ppm であったが、その再生成量も 40 ppm であったとも解釈できる。したがって、もう少し高い濃度であれば、この方法によって N₂O を処理できる可能性もあり、今後実験を行う予定である。

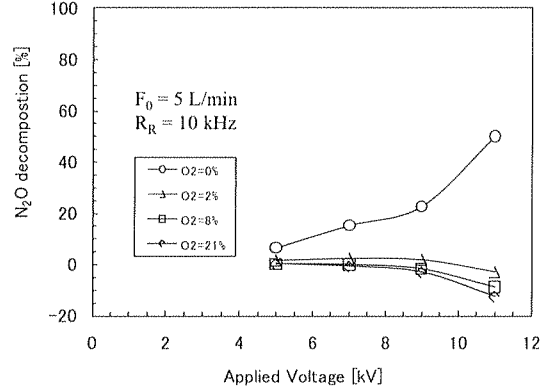


図 8 Ar プラズマ中への N₂O-O₂-N₂ 吹込み時の N₂O 分解
Fig.8 N₂O decomposition by N₂O/O₂/N₂ injection into argon plasma.

〈3.5〉 N₂O 分解が可能な酸素濃度の検討

さて、N₂O 再生成量を減らすためには、前項までに検討した低電圧処理の他、排ガス中の酸素濃度を減らすことが考えられる。ここでは、N₂O 分解率に及ぼす酸素濃度の影響を低濃度酸素領域で詳細に調べた。

Fig.9 に、直接処理による酸素濃度と N₂O 分解率の関係を示す。O₂=1.0%以下では、N₂O の分解が確認された。酸素濃度を低くすると、O ラジカルの生成が抑制され、N₂O 再生成もまた抑制されたものと考えられる。

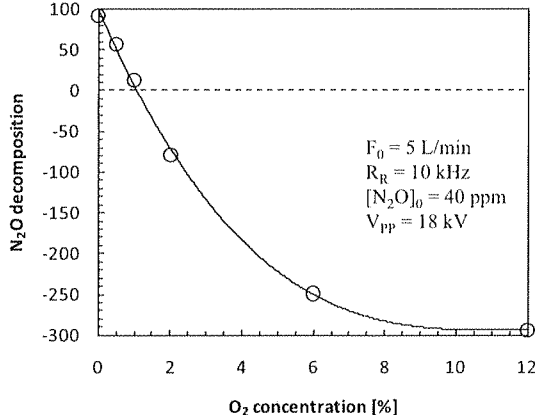


図 9 O₂ 濃度と N₂O 分解率の関係

Fig.9 Relation between O₂ concentration and N₂O decomposition by DBD direct treatment in N₂O-O₂-N₂ system.

次に、Ar プラズマ中へ N₂O-O₂-N₂ を吹込んだ時の酸素濃度と N₂O 分解率の関係を調べた。Fig.10 には、O₂ = 0.5% における N₂O 分解率を印加電圧に対してプロットした。

Fig.9 で示した直接処理 ($V_{pp} = 18$ kV) よりも低電圧で N₂O を分解することができ、 $V_{pp} = 13$ kV で約 40% の分解率が得られた。

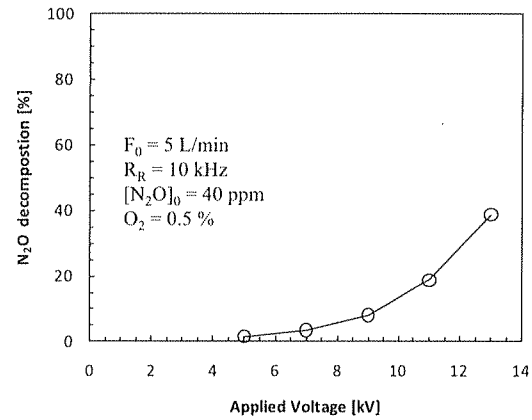


図 10 O₂=0.5% での N₂O-O₂-N₂ 吹込み時の N₂O 分解
Fig.10 N₂O decomposition by N₂O/O₂/N₂ injection into argon plasma under an O₂ = 0.5% atmosphere.

4 結言

N₂O を大気温度・無触媒で分解する方法を確立することを目的に、大気圧非平衡プラズマによる N₂O 分解の基本特性を調べた。

O₂ が含まれていない N₂O-Ar 系および N₂O-N₂ 系では、印加電圧の増加により N₂O を完全に分解することができる。N₂O-O₂-Ar 系の場合、酸素濃度の増加とともに N₂O 分解率は低下したが、印加電圧を高くすることによって N₂O 分解率を向上できる。しかし、実際の処理ガス系である N₂O-O₂-N₂ 系では N₂O の再生成により、N₂O を分解することはできなかった。

N₂O 再生成の原因と考えられる N, O ラジカルの生成を抑制するため、Ar プラズマ中に N₂O-O₂-N₂ を吹き込んだところ、N₂O 生成は大幅に抑制されたが、低濃度 N₂O を分解するには至らなかった。一方、酸素濃度を 1.0% 以下、望ましくは 0.5% 程度にすることで O ラジカルの生成を抑制でき、低濃度 N₂O でも 40-50% の分解率を得ることができた。特に、Ar プラズマ中に N₂O-O₂-N₂ を吹き込む方法では、より低電圧で N₂O を分解可能である。

文 献

- (1) 気候変動監視レポート 2007, 気象庁 (2007) 64.
- (2) 三菱重工株式会社, 特許公報第 2744666 号 (1998).
- (3) 三菱重工株式会社, 特許公報第 2895245 号 (1999).
- (4) 神原, 阿部, 古谷野, 環境総合工学シンポジウム 2009 講演論文集 308, (2009)
- (5) 神原, 奥田, 佐々木, 環境総合工学シンポジウム, 2010 講演論文集 188-190 (2010)